

sind (typisches Mikrozellenszenario). Die aufgenommenen Messwerte befinden sich sowohl im LOS- als auch im NLOS-Bereich (siehe Bild 7 und Bild 9).

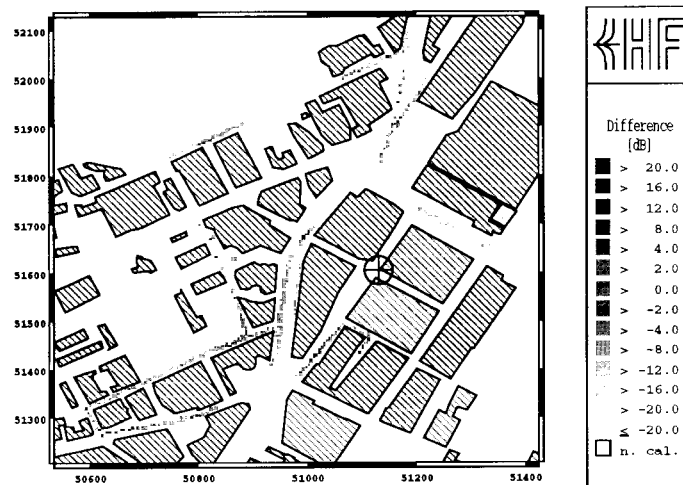


Bild 7: Differenz zwischen neuem Prognosemodell und Messungen in Stuttgart

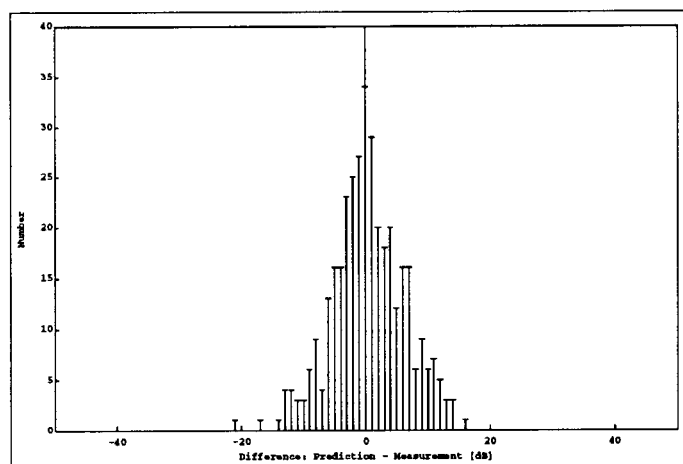


Bild 8: Verteilung der Differenzwerte aus Bild 7

Klasse	Strahlweg
1	Direkter Weg
2	Einfache Reflexion
3	Zweifache Reflexion
4	Einfache Beugung
5	Dreifache Reflexion
6	Einfache Reflexion + Einfache Beugung
7	Zweifache Beugung
8	Zweifache Reflexion + Einfache Beugung

Tabelle 4: Berechnete Klassen von Strahlwegen